



First Results of Wilkinson Microwave Anisotropy Probe: **WMAP**

Wilkinsonは昨年亡くなったチームの精神的リーダー



国立天文台
理論天文学研究系
杉山直

- 人工衛星、ラグランジュポイント [L2](#)、地球から150万キロ太陽とは逆側に。
- COBE以後、最初のスペース、全天観測
- COBEの10倍細かく分解し、10倍感度のよい観測($l=900$ まで)
- 多波長で観測: 5-bands, **23,33,41,61,94 GHz**
- 宇宙マイクロ波背景放射の温度の分布を100万分の1の精度で観測 
- 偏光成分も詳細に測定
- 誕生からおよそ40万年 (**38万年**) 後の宇宙の様子 

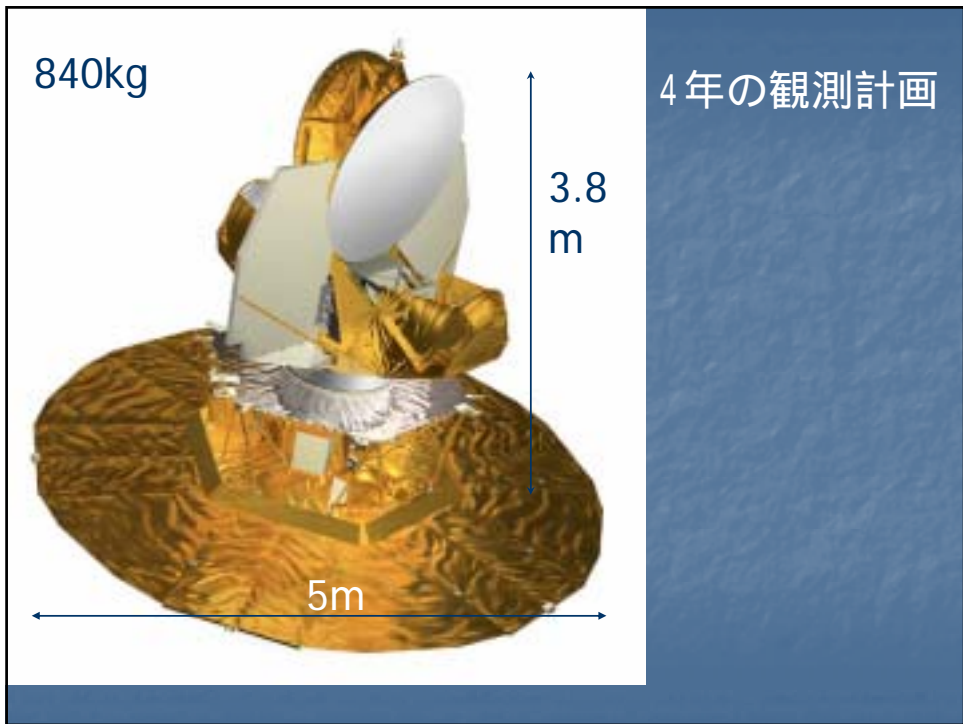
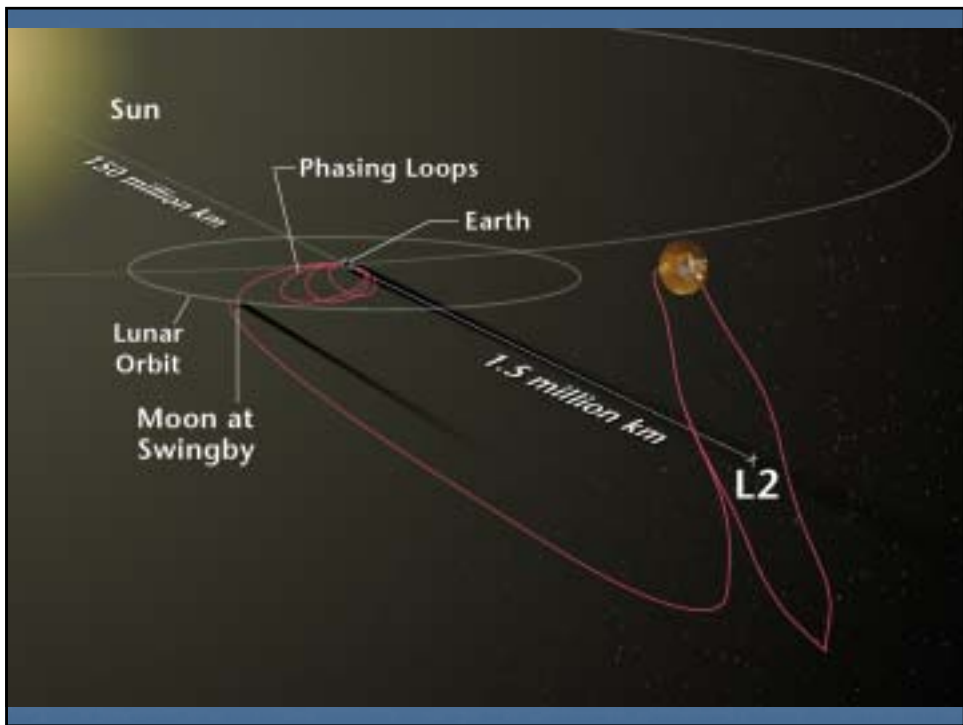
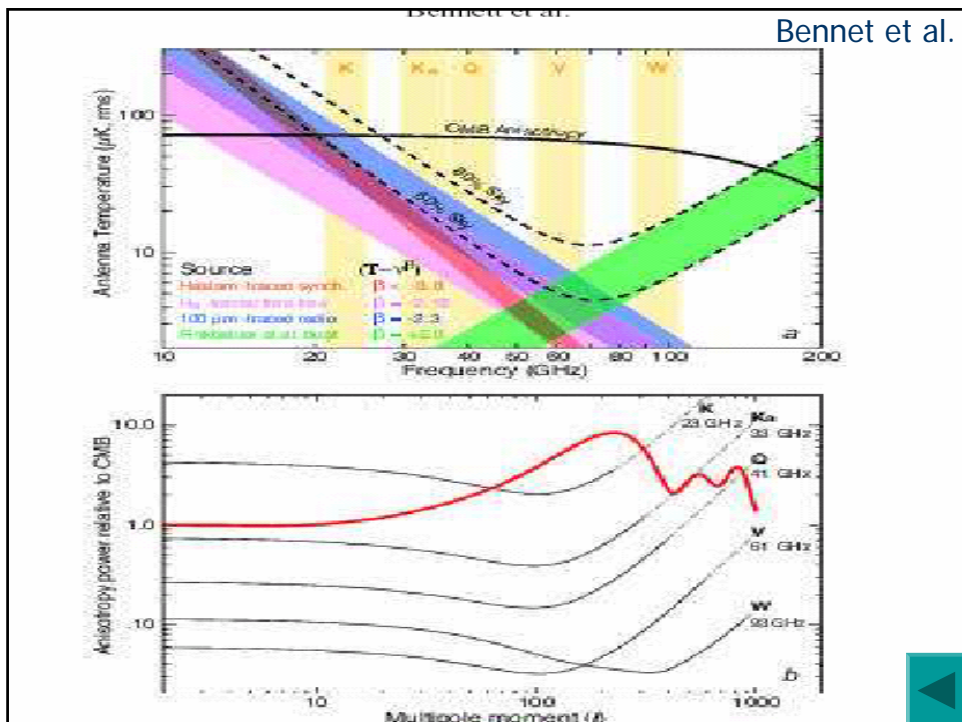
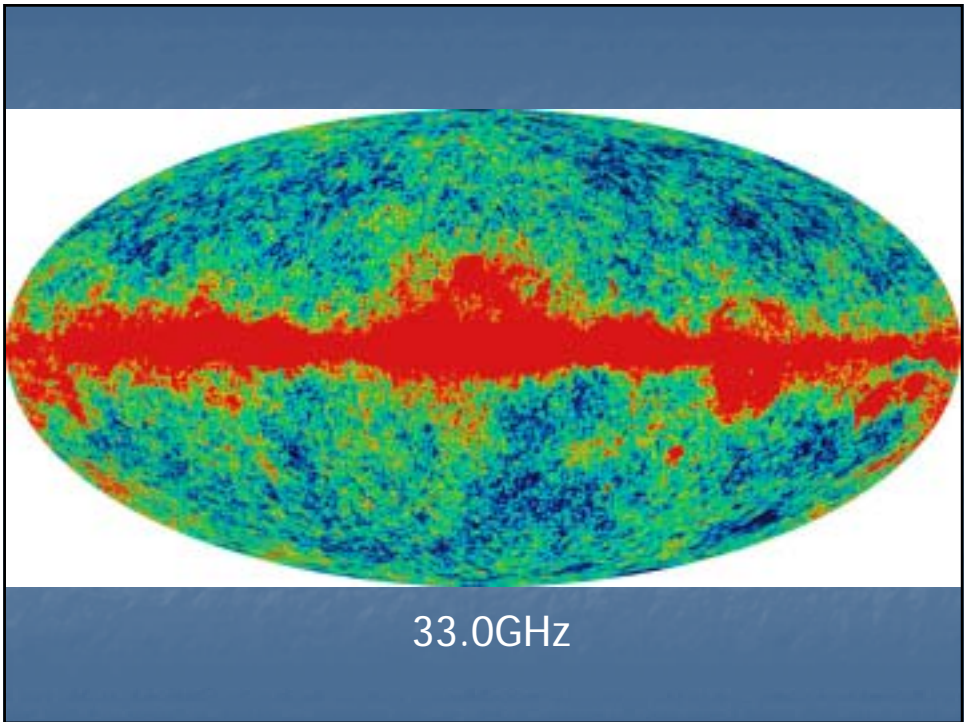
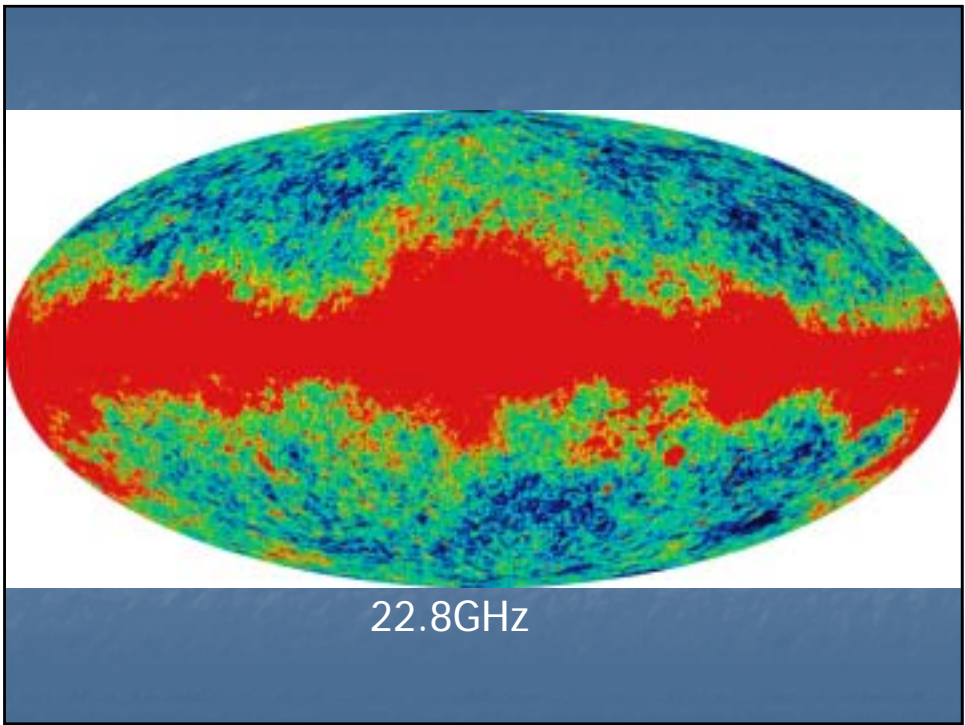


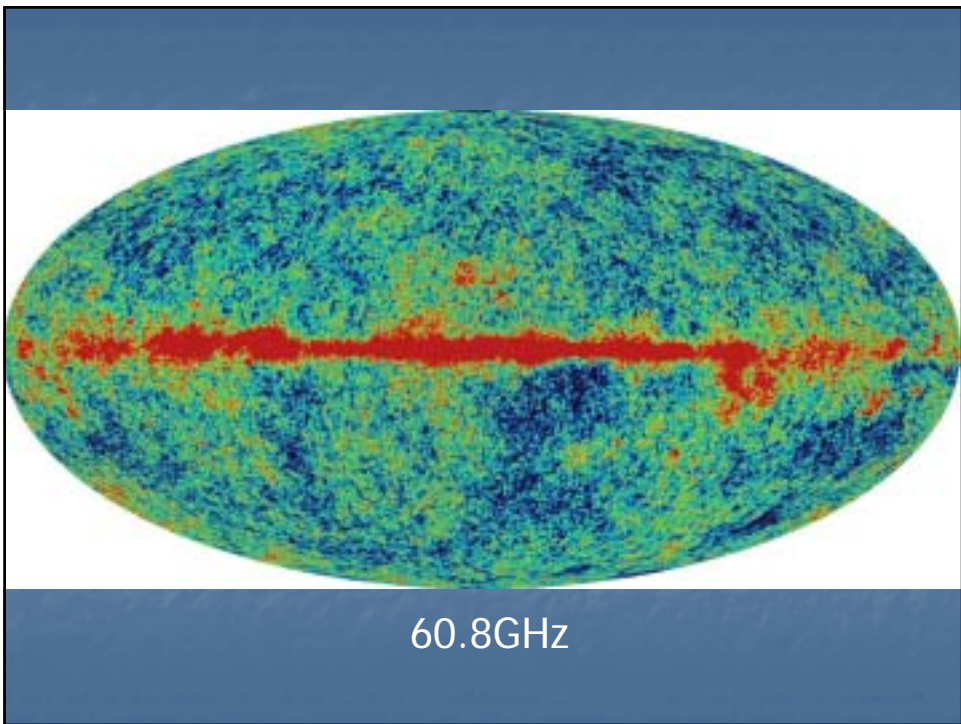
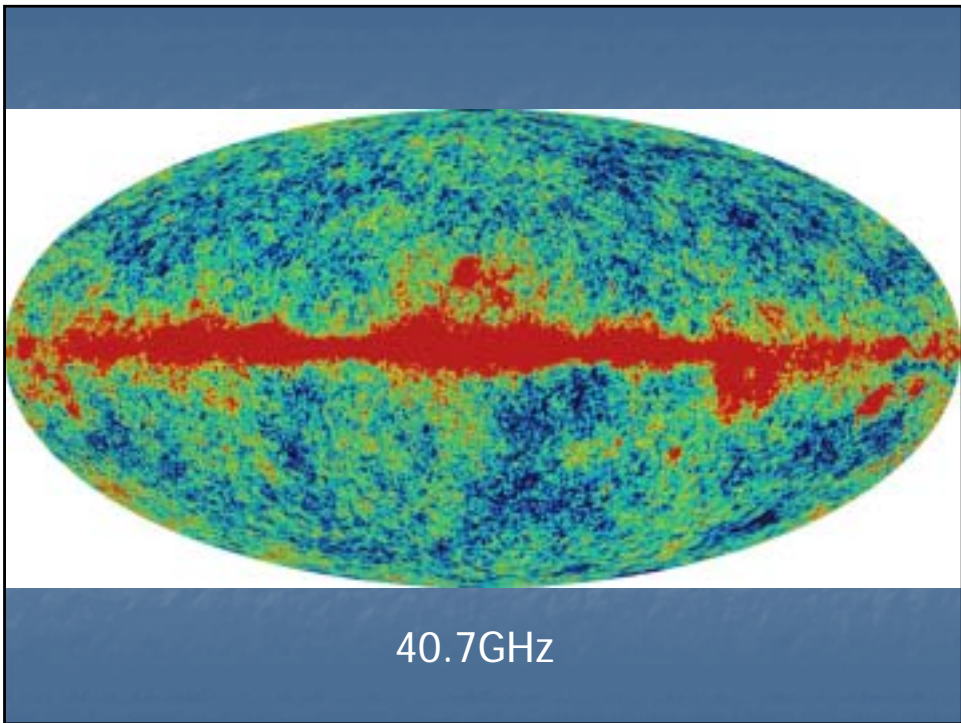
Table 1. Approximate Observational Properties by Band

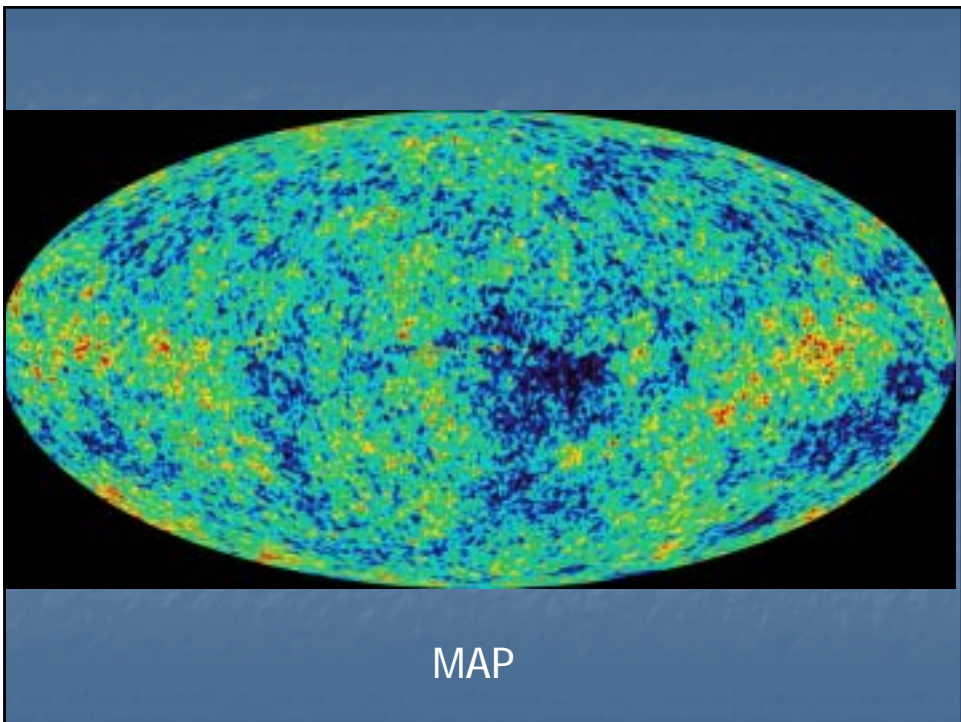
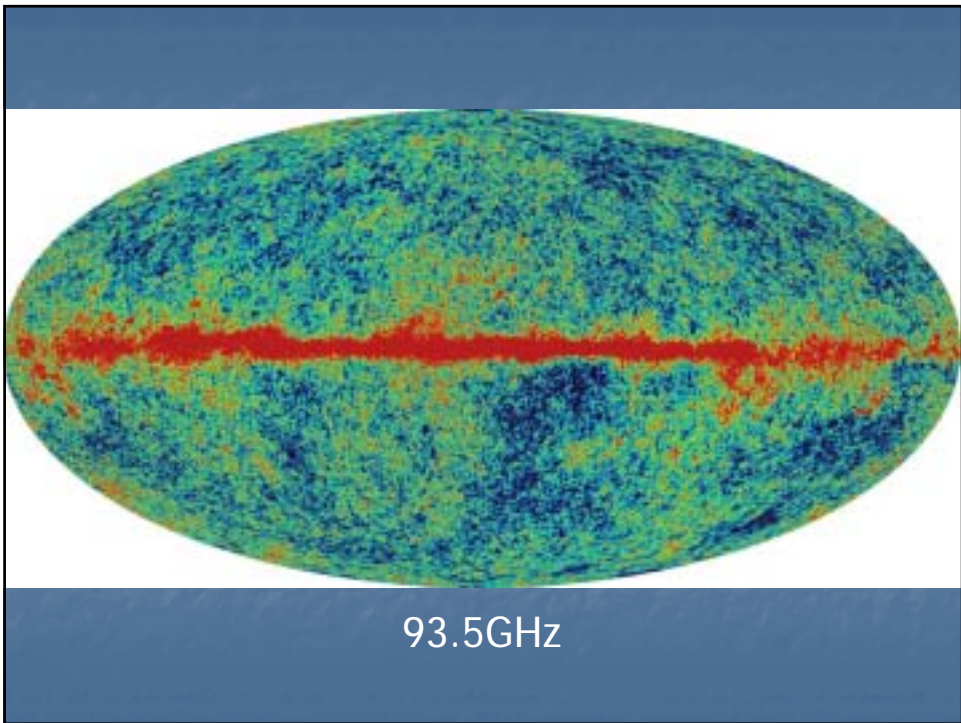
Item	K-Band	Ka-Band	Q-Band	V-Band	W-Band
Wavelength, λ (mm)	13	9.1	7.3	4.9	3.2
Frequency, ν (GHz)	22.8	33.0	40.7	60.8	93.5
Ant. therm. conversion factor, $\Delta T / \Delta T_A$	1.014	1.029	1.044	1.100	1.251
Noise, σ_0 (mK) $\sigma = \sigma_0 N_{obs}^{-1/2}$	1.424	1.449	2.211	3.112	6.498
Beam width θ (FWHM)	0.82	0.62	0.49	0.33	0.21
No. of Differencing Assemblies	1	1	2	2	4
No. of Radiometers	2	2	4	4	8
No. of Channels	4	4	8	8	16

Beam Width: COBE, 7 degree (FWHM)

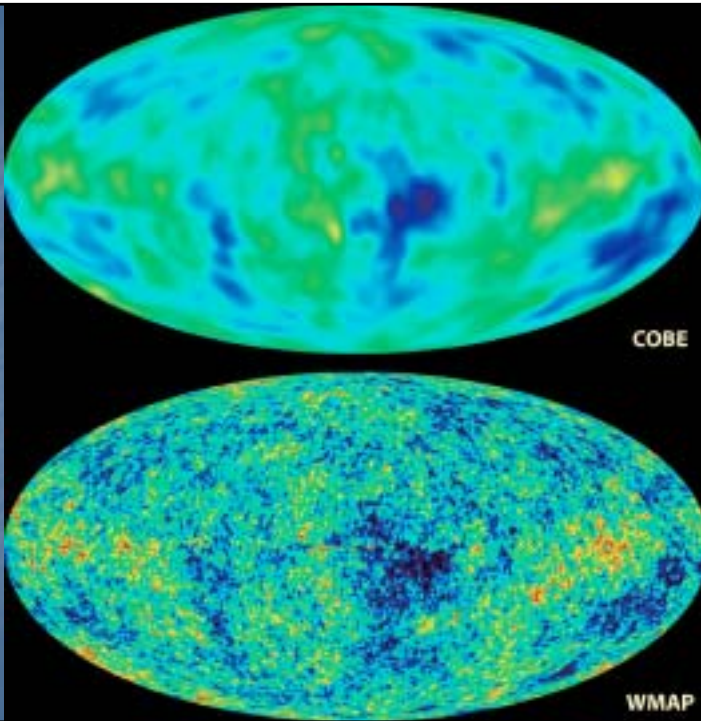








COBEと の比較



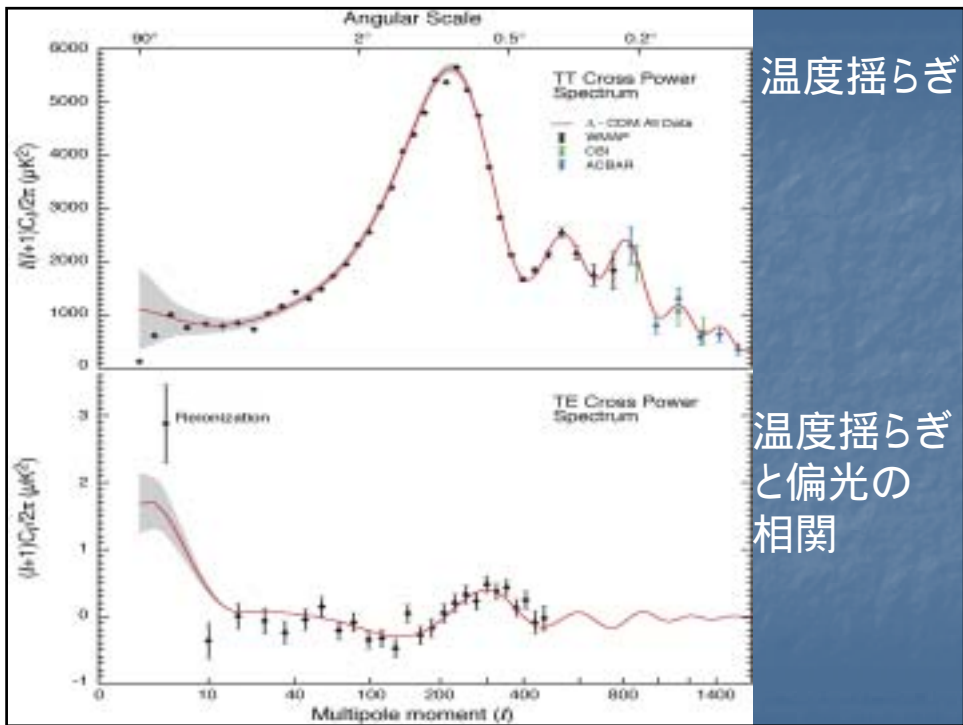
結果

- COBEとは完璧にconsistent (low quadrupole)
- [Power Spectrum](#)
- [polarization](#)

Visit

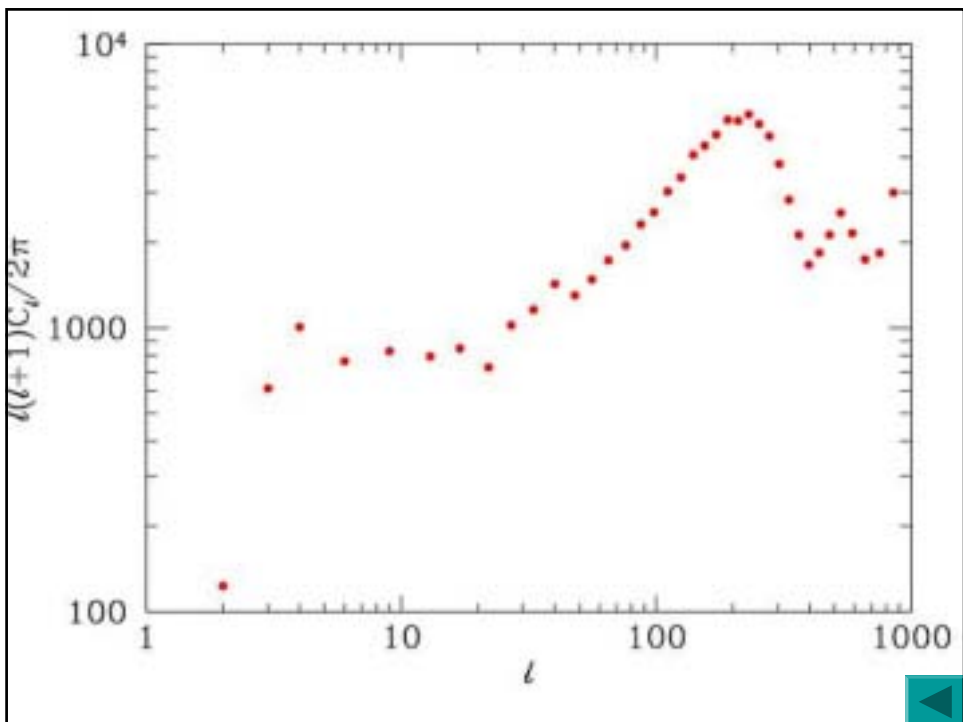
<http://lambda.gsfc.nasa.gov/>

You can find everything you need!



温度揺らぎ

温度揺らぎ
と偏光の
相関



Polarization

Produced by

Anisotropic Component of Thomson Scattering
need quadrupole component in temperature

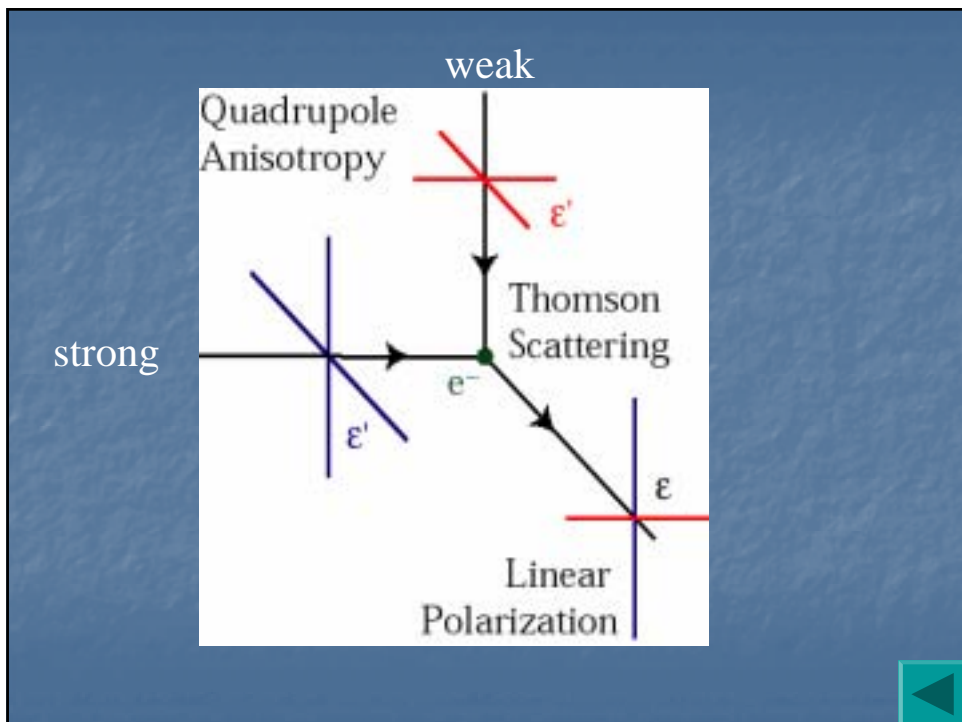
1) Phase difference between Temp. & Pol.

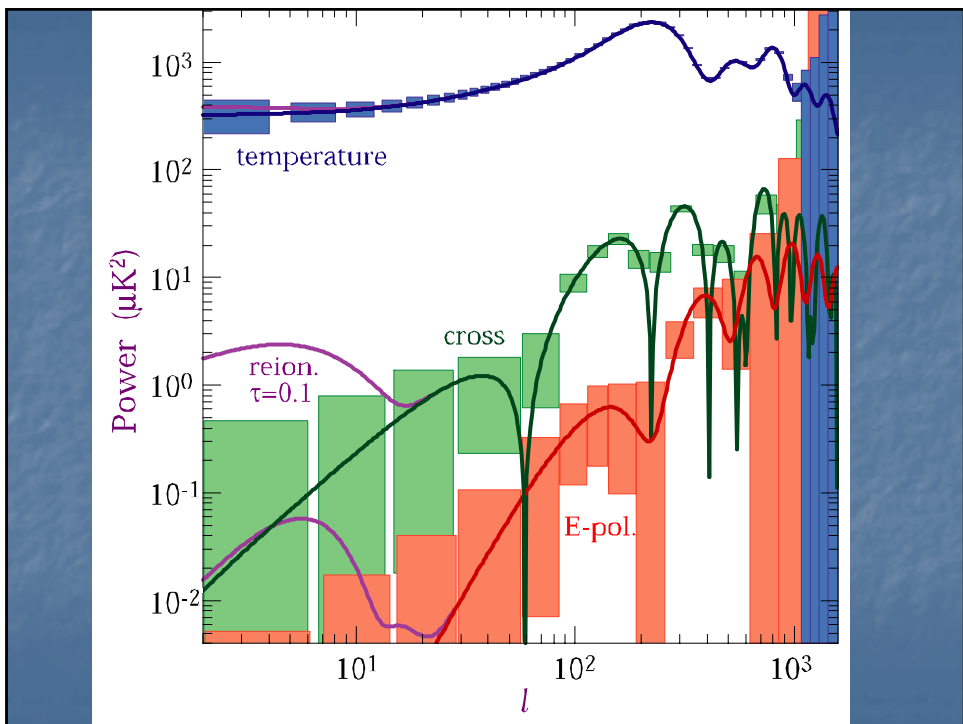
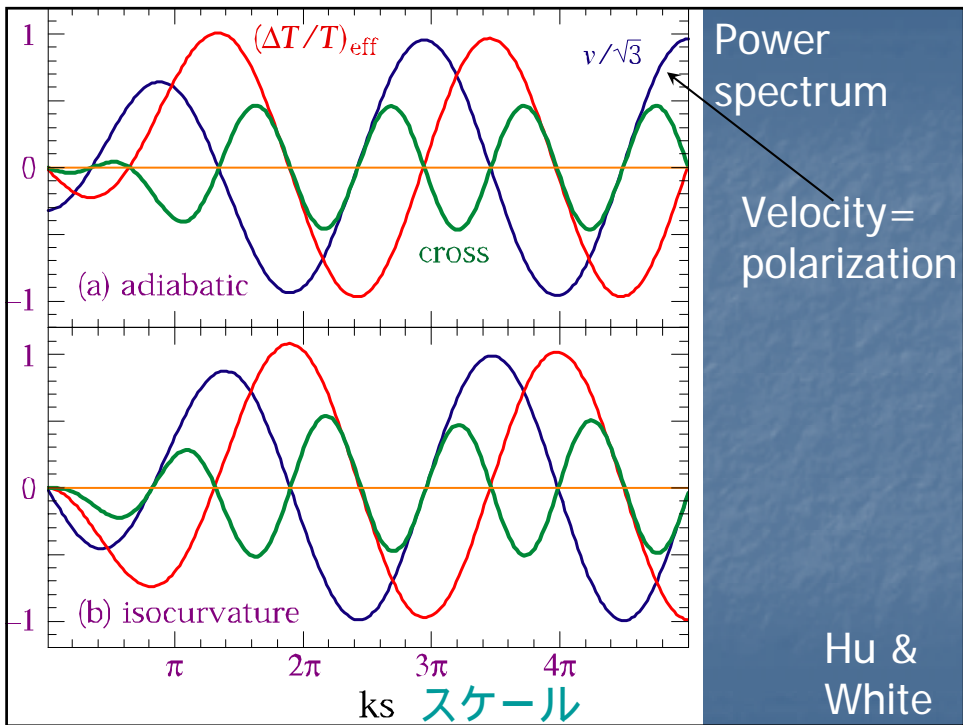
: polarization is generated by velocity

2) E-mode (parity even) & B-mode (parity odd)

3) Temperature-Polarization (TP) correlation

Larger Signal





What can we learn?

1) Thermal History

- standard recombination

⇒ Peak at horizon scale at $z=1000$: $l \approx 100-1000$

- re-ionization

⇒ Peak at horizon scale at z_i : $l \approx 10-100$

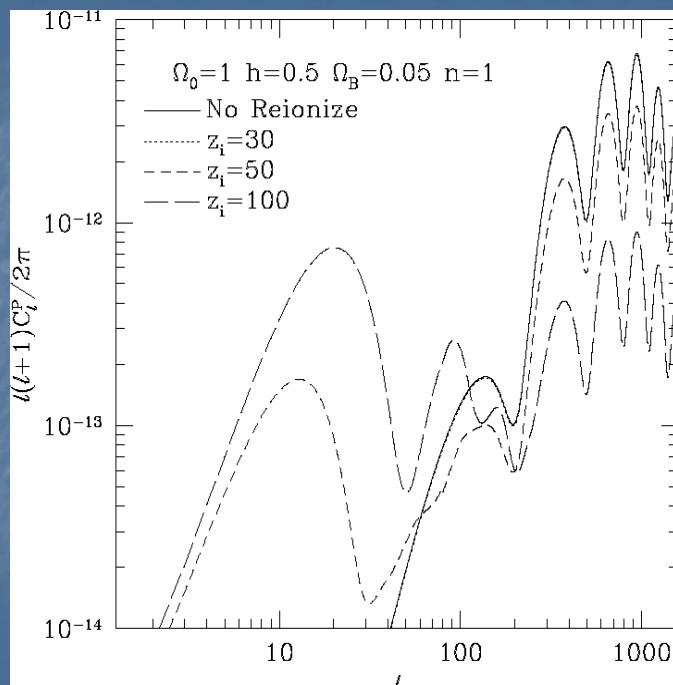
2) Adiabatic vs. Isocurvature

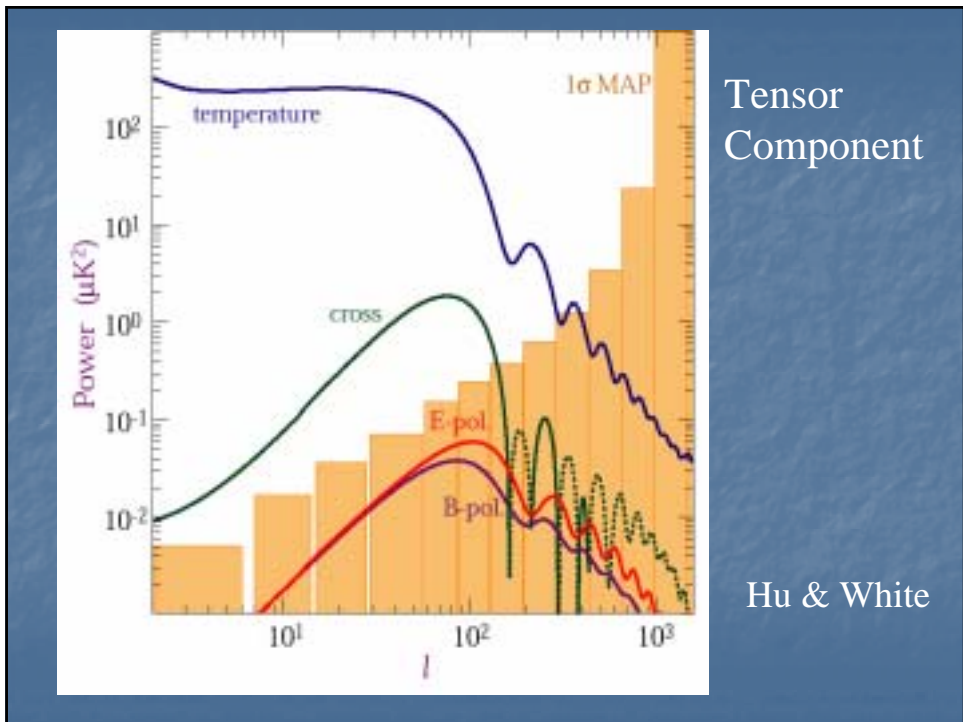
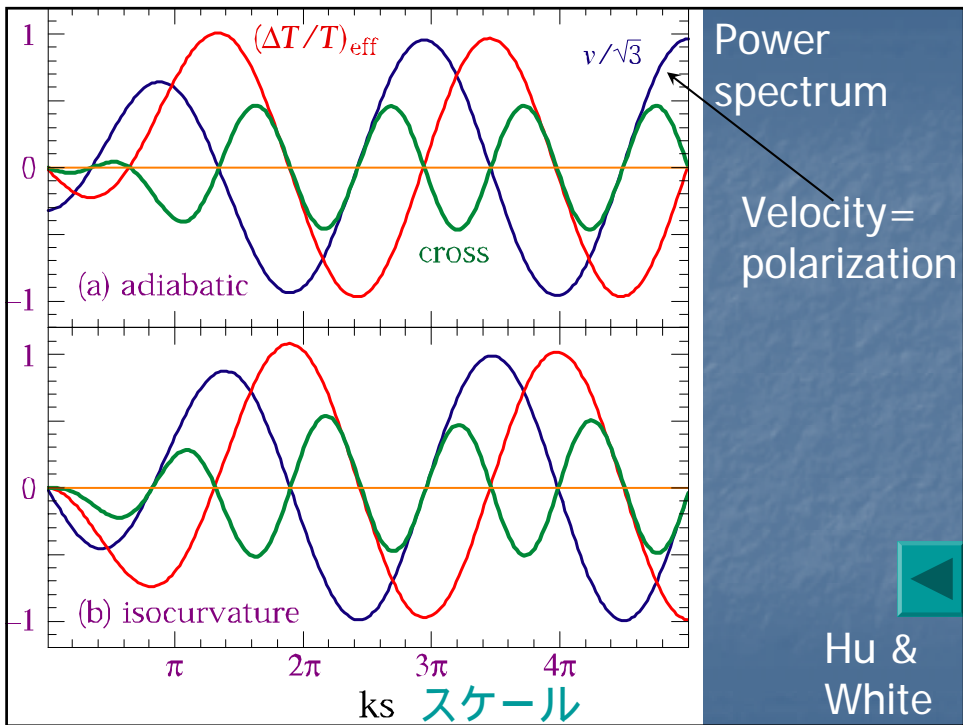
3) Scalar vs. Tensor

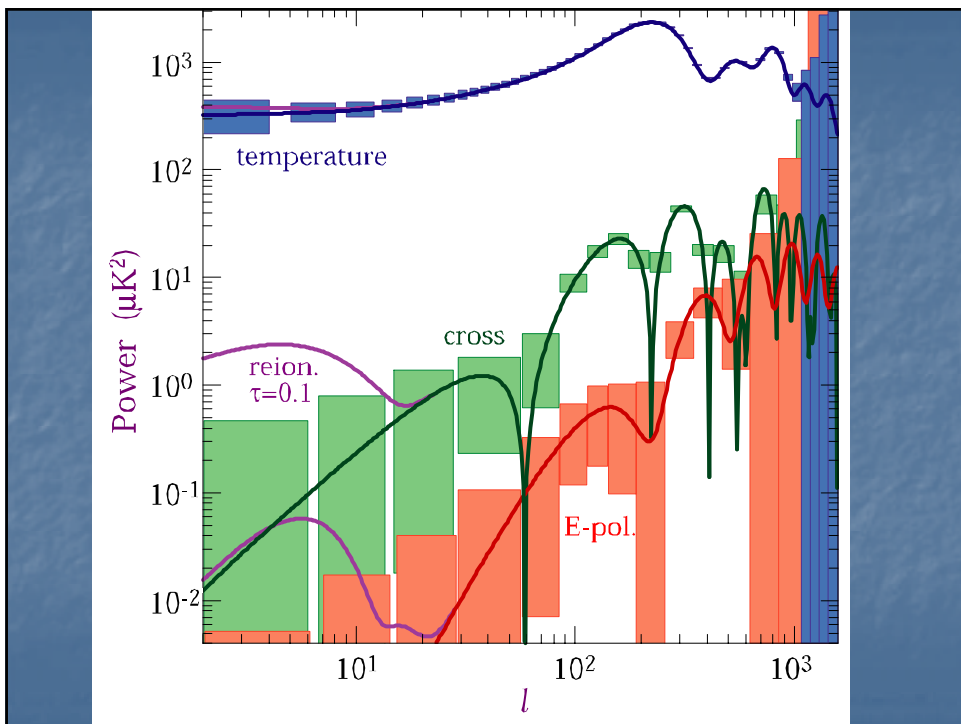
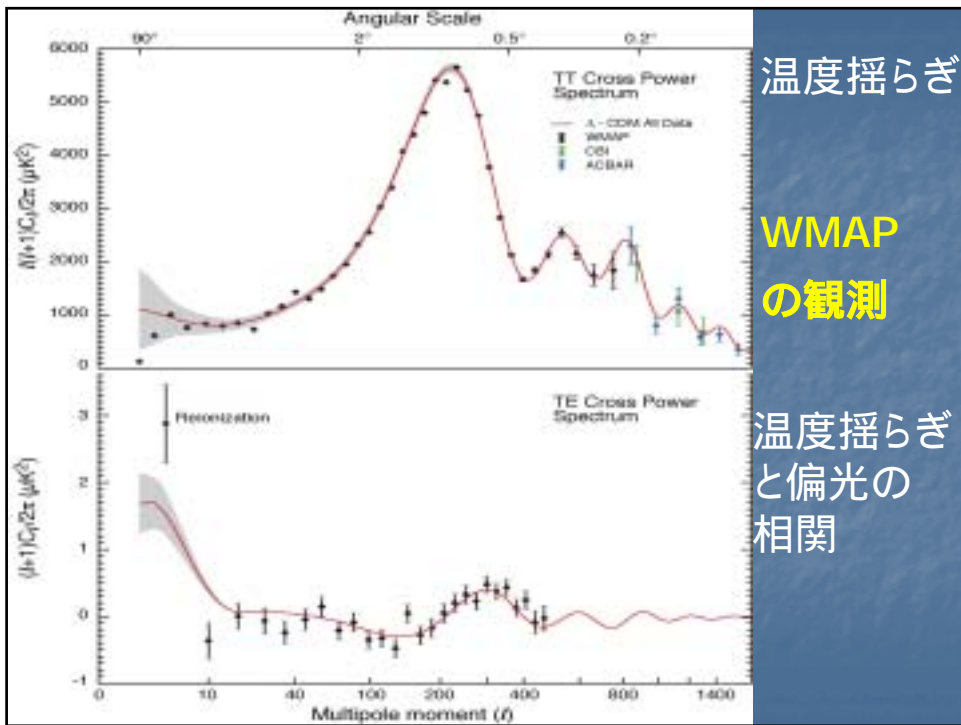
scalar: only E-mode

tensor: E+B modes

P_{0l} と
reionization

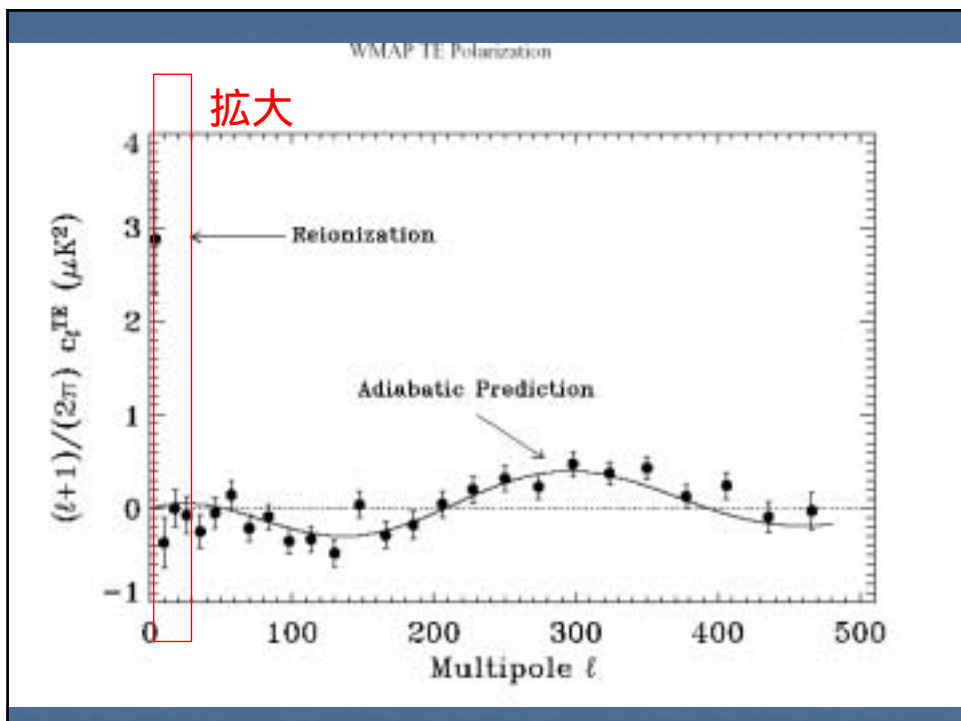


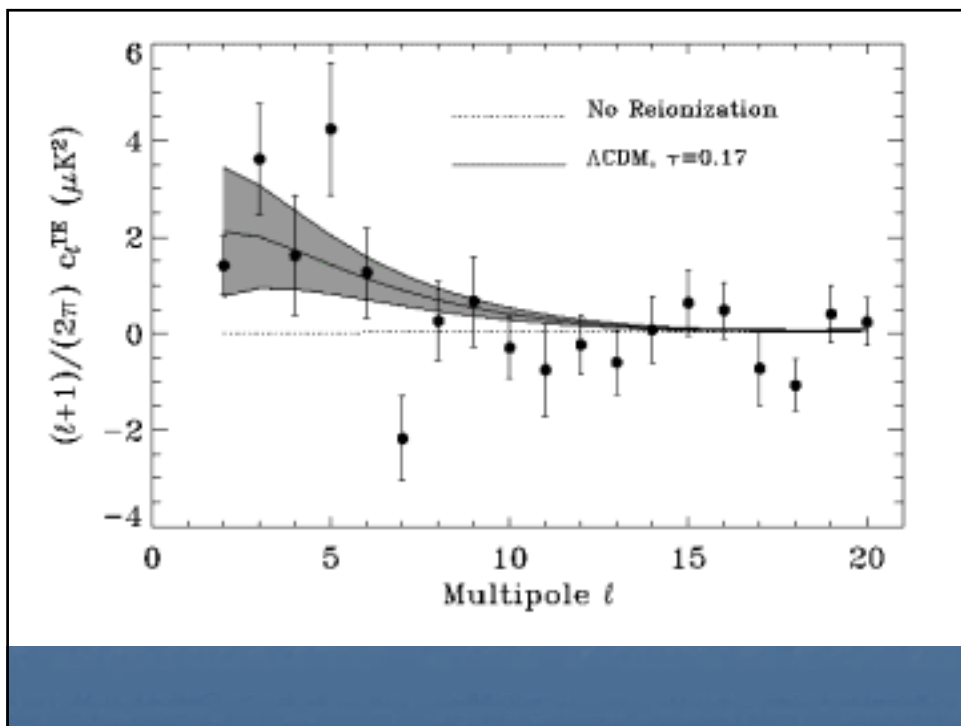




WMAPのpolarization

- adiabaticゆらぎ
- E-mode
- reionization of the universe after recombination





WMAPの結果の意味するところ

Spergel et al.

注意すべき点は、WMAPのみの結果と、
WMAP+fine scale CMB+2dF+Ly α +running ns
の結果若干異なる：後者を以下ではallと略
また、平坦な宇宙を仮定

インフレーションからはじまった宇宙を支持する

polarizationからadiabatic fluctuations確認
揺らぎの統計：non-Gaussianの証拠はない

$n_s = 0.99 \pm 0.04$ (WMAPのみ)

$n_s = 0.93 \pm 0.03$ (all)

$dn_s/d\ln k = -0.031 + 0.031 - 0.017$ (all)

•最初の天体形成は

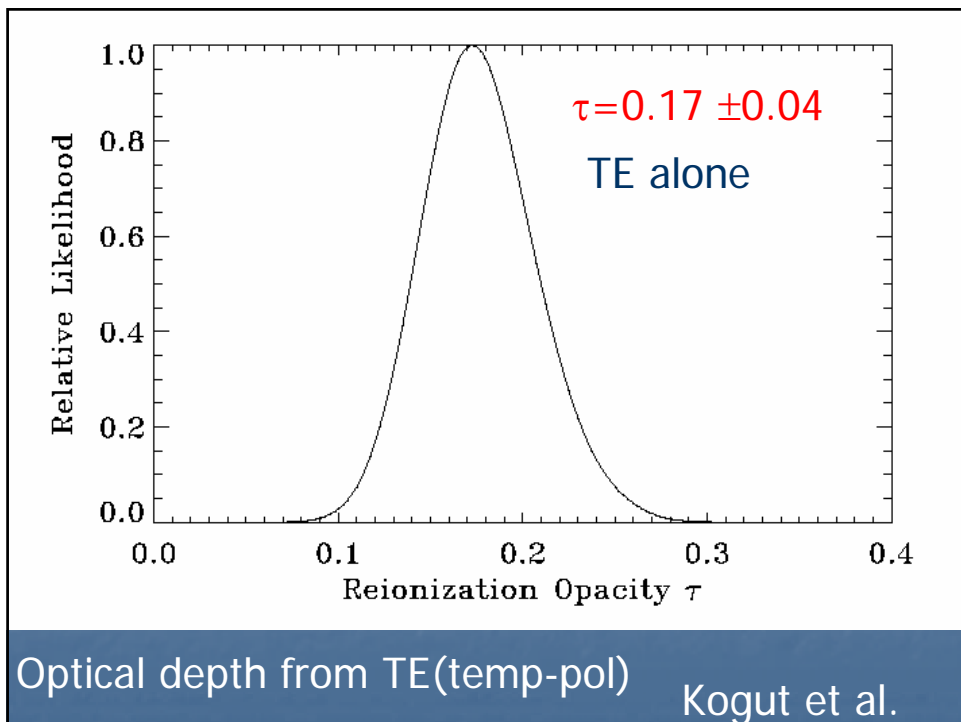
$$\tau = 0.166^{+0.076}_{-0.071} (\text{WMAP})$$

$$= 0.17 \pm 0.04 (\text{all})$$

$$z_{\text{reio}} = 20^{+10}_{-9} (95\% \text{CL})$$

$$t_{\text{rio}} = 180^{+220}_{-80} (95\%)$$

Reionizationをpolarizationから測定した



Cosmological Parameters

$$h = 0.72 \pm 0.05 (\text{WMAP})$$

$$= 0.71_{-0.03}^{+0.04} (\text{all})$$

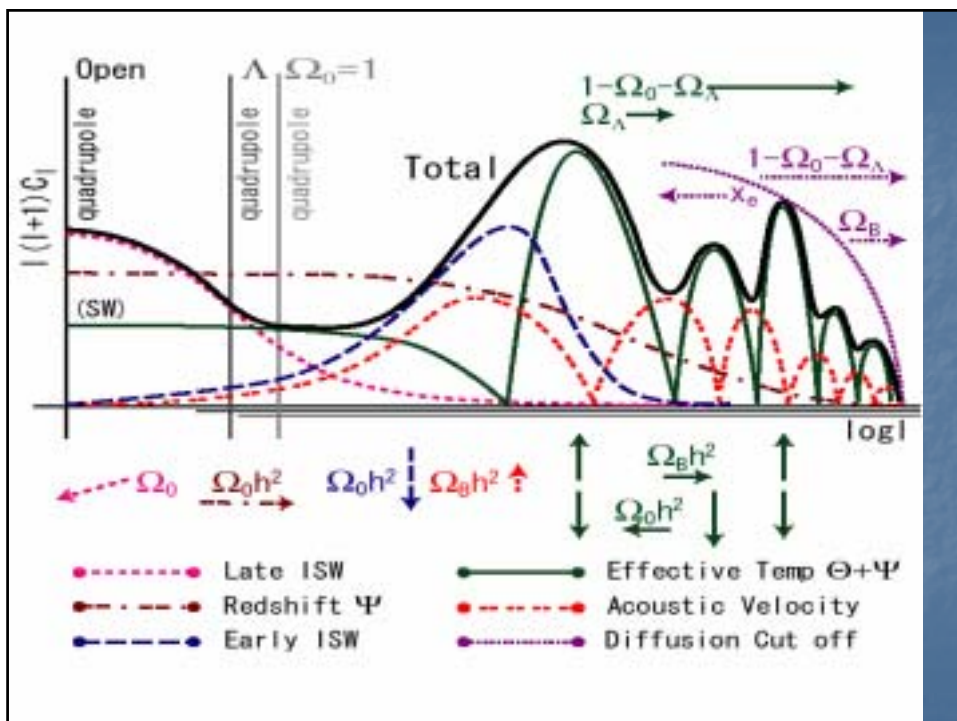
$$\Omega_M h^2 = 0.14 \pm 0.02 (\text{WMAP})$$

$$= 0.135_{-0.009}^{+0.008} (\text{all})$$

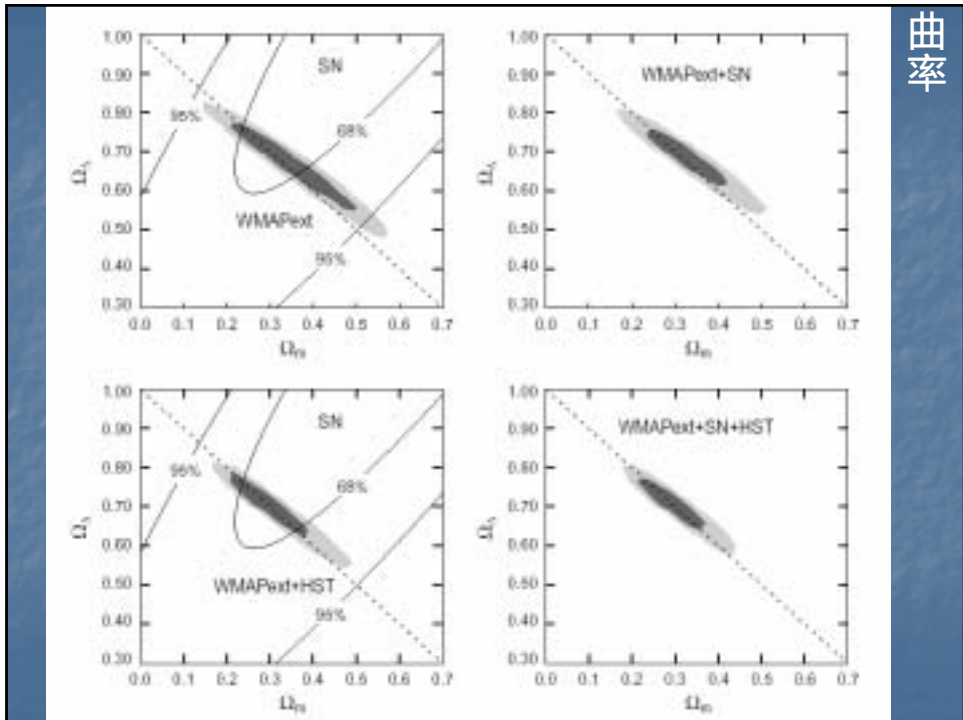
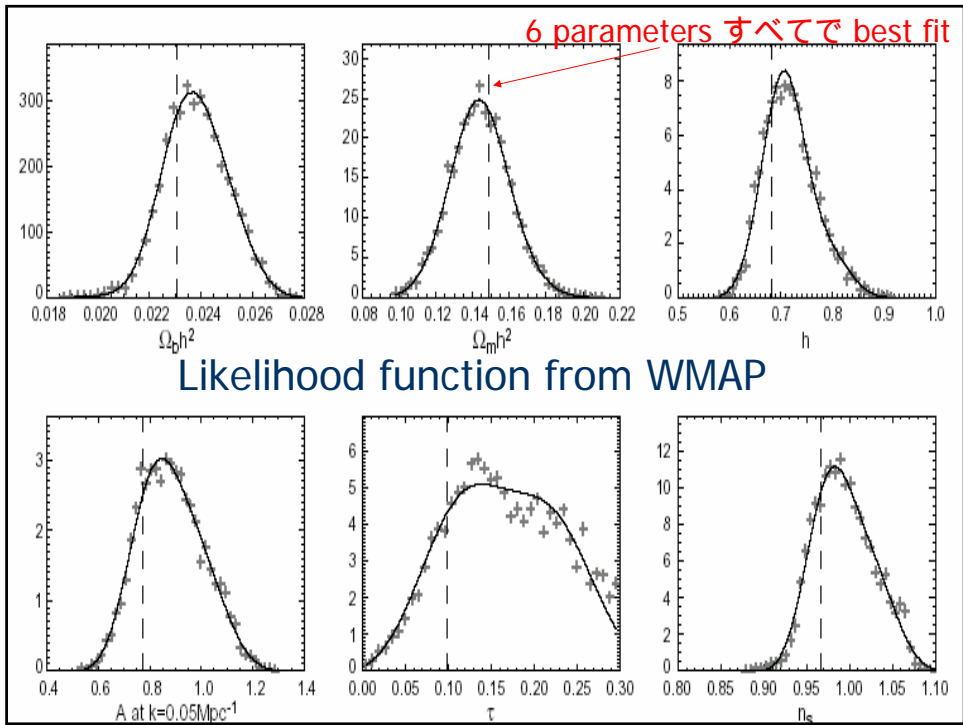
$$\Omega_B h^2 = 0.024 \pm 0.001 (\text{WMAP})$$

$$= 0.0224 \pm 0.0009 (\text{all})$$

$$\Omega_{tot} = 1.02 \pm 0.02 (\text{WMAP} + \text{SN, or, HST, 2DF})$$





6 parameters すべてで best fit

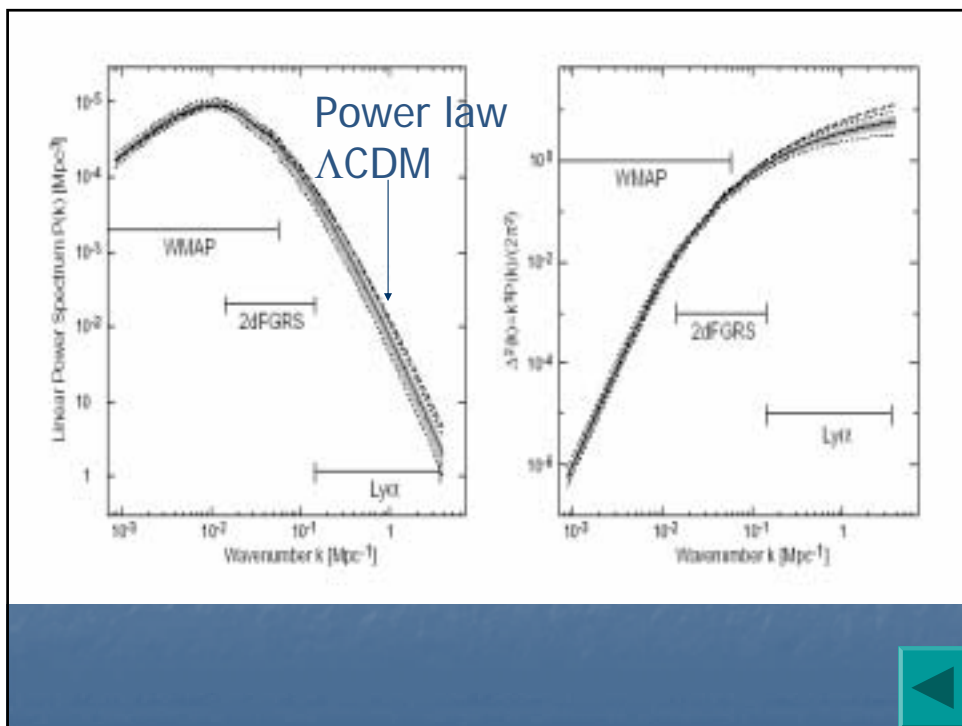


曲率

- 宇宙はやはり平坦だった
- 宇宙の全エネルギーのうち、4%がbaryon、23%がnon-baryonic dark matter、残り73%がdark energy
- 現在の宇宙年齢は
134 ±3億歳 (WMAPのみ)
137 ±2億歳 (all)
- Recombination epochは
 $z = 1089 \pm 1$
 $\Delta z = 195 \pm 2$
 $t = 379 \pm 8 \text{ kyr.}$

その他おまけ

- 2dF Galaxy Redshift Survey, Ly-alphaとは有為にずれ: CMBの方がpower大きい 
- Running spectral index?
- $w = p/\rho < -0.78$ (all data)
Einsteinの宇宙項($w = -1$)を示唆
- Tensor modeには $P_{\text{tensor}}/P_{\text{scalar}} < 0.71$
- neutrino mass: $m_\nu < 0.23 \text{ eV}$
- 極端にちいさなlow multipoleはなぜ? 



すべて予想通り
(reionizationは早かった)

Stokes Parameters

$$E_x = a_x \sin(\omega t - \varepsilon_x(t))$$

$$E_y = a_y \sin(\omega t - \varepsilon_y(t))$$

$$I \equiv \langle a_x^2 \rangle + \langle a_y^2 \rangle = I_x + I_y$$

$$Q \equiv \langle a_y^2 \rangle - \langle a_x^2 \rangle = I_y - I_x$$

$$U \equiv \langle 2a_x a_y \cos(\varepsilon_x - \varepsilon_y) \rangle$$

$$V \equiv \langle 2a_x a_y \sin(\varepsilon_x - \varepsilon_y) \rangle$$

Rotational transformation: angle φ

$$Q' \pm iU' = \exp(\mp 2i\varphi)(Q \pm iU) \Rightarrow \text{Spin 2}$$

Spin raising ∂_u and lowering ∂_d operators

$$\partial_d^2(Q + iU) = \sum_{lm} \sqrt{(l+2)!/(l-2)!} a_{2,lm} Y_{lm}(\hat{n})$$

$$\partial_u^2(Q - iU) = \sum_{lm} \sqrt{(l+2)!/(l-2)!} a_{-2,lm} Y_{lm}(\hat{n})$$

$$a_{E,lm} = -\frac{1}{2}(a_{2,lm} + a_{-2,lm}) \quad \text{E-mode; parity } (-1)^l$$

$$a_{B,lm} = \frac{i}{2}(a_{2,lm} - a_{-2,lm}) \quad \text{B-mode; parity } (-1)^{l+1}$$